## OPTIMAL APPLICATION POSSIBILITIES OF THREE-BARRIER PHOTODETECTORS BASED ON GALLIUM ARSENIDE IMPURITIES IN ADVANCED TECHNOLOGIES

1 Zoirova L., 2 Mukhammadieva M.

1 Navoi University of Innovations, Associate Professor 2 Navoi University of Innovations, Lecturer

**Abstract.** This article presents the potential applications of three-barrier photodiode structures based on gallium arsenide, their use in advanced technologies, communication lines, and mobile communication systems. Various structural modifications and their types are discussed.

**Keywords:** Gallium arsenide, three-barrier structure, photodiode, impurity, photosensitivity, barrier, p-n junction, spectral range, electrophysical characteristics.

# ОПТИМАЛЬНЫЕ ВОЗМОЖНОСТИ ПРИМЕНЕНИЯ ТРЕХБАРЬЕРНЫХ ФОТОПРИЁМНИКОВ НА ОСНОВЕ ПРИМЕСЕЙ АРСЕНИДА ГАЛЛИЯ В ПЕРЕДОВЫХ ТЕХНОЛОГИЯХ

**Аннотация.** В данной статье приведены возможности использования трёхбарьерных фотодиодных структур на основе арсенида галлия, их использования в передовых технологиях, в линиях коммуникации, а также сотовой связи. Приведены данные модификации структуры и их разновидности.

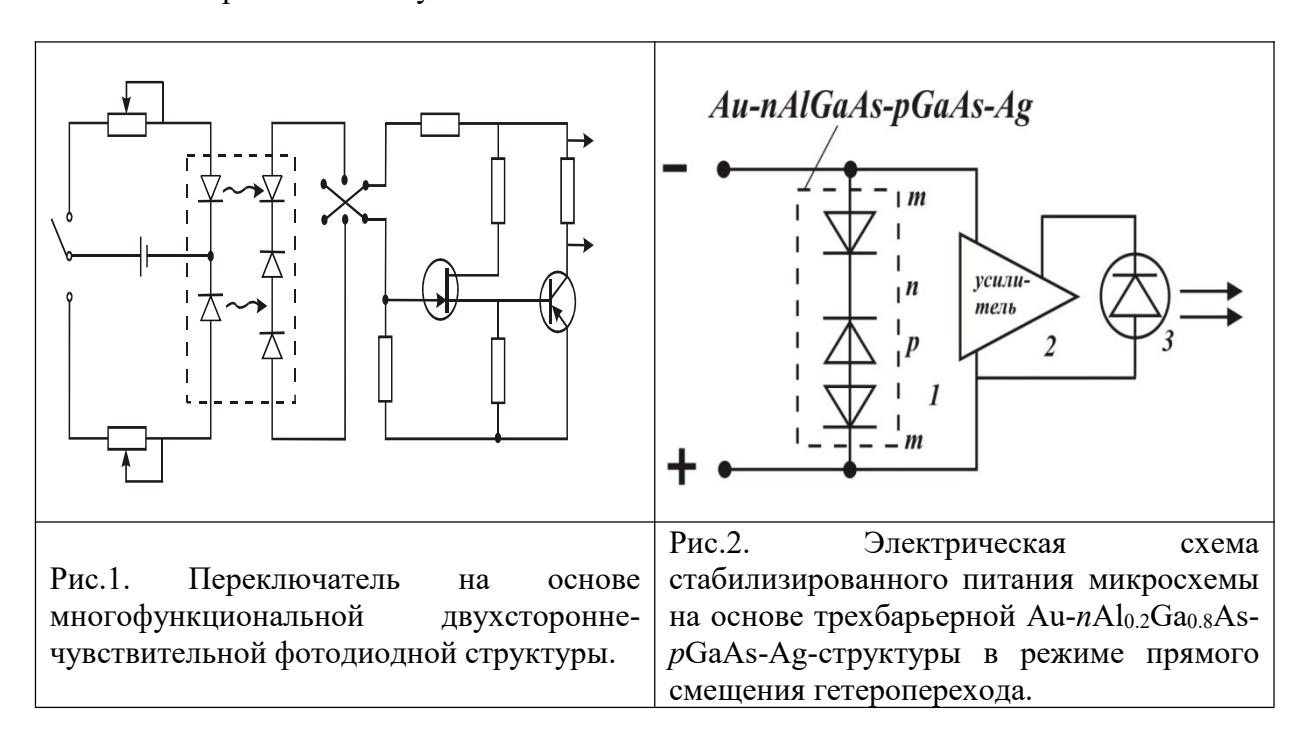
**Ключевые слова.** Арсенид галлия, трёхбарьерная структура, фотодиод, примесь, фоточувствительность, барьер, p-n-переход, спектральный диапазон, электрофизические характеристики.

Введение. Оптоэлектронные устройства на основе излучателя и приемника оптических сигналов широко используются для создания различных систем, передачи оптической информации через волоконно-оптические линии связи [1]. В них используются спектральный диапазон от ближнего инфракрасного (0.85 мкм) до 1.3-1.5 мкм, в соответствии с используемым оптическим волокном второго или третьего поколения. Здесь следует отметить, что в зависимости от используемого фотоприемника и его свойств существенно изменяются функциональные возможности электронных систем на их основе. При использовании биполярного транзистора, предоставляется возможность работать с большим уровнем оптического сигнала и с меньшим быстродействием. Для увеличения быстродействия системы приема оптической информации стали практиковать использование полевых транзисторов совместно с фотодиодом для волоконно-оптических линий связи. Проводятся исследования по использованию лабораторных образцов полевых фототранзисторов на основе арсенида галлия в фотонике. Для регистрации слабых оптических сигналов можно использовать универсальные двухбазовые и двухбарьерные фотодиоды с внутренним усилением [2]. Их отличие состоит в том, что при обеих полярностях включения осуществляется ограничение инжекции носителей реализуется генерационный механизм формирования рабочего тока. В одном случае рабочим становится запираемый *p-n-*переход, а в другом *n-m-*переход. Последовательное соединение трех и двух переходов приводит к уменьшению обратного тока, а также общей емкости. В режиме запирания металлополупроводникового перехода оптический диапазон определяется преобладанием фоточувствительности в коротковолновой области спектра. случае запирания *p-n-*перехода преимущественно спектральной В



чувствительностью гомо или гетероперехода. И таким образом, путем изменения полярности рабочего напряжения возможно изменение оптического рабочего диапазона. Проведенные исследования электрофизических и фотоэлектрических характеристик трехбарьерных фотодиодных структур на основе арсенидгаллиевых гетерослоев, а также сопоставительный анализ процессов модуляции базовых областей и образования фототоков показали, что они могут быть использованы в различных устройствах приема и передачи оптического сигнала. Так как они охватывают широкий оптический диапазон от 0.4 мкм до 1.6 мкм, а при смене освещаемой поверхности в зависимости от примесных уровней во взаимосвязи со свойствами запирающих барьеров появляется возможность управления фототоком, что обеспечивает их применение в оптоэлектронных схемах и волоконно-оптических устройствах.

Например, трехбарьерная фотодиодная  $Au-nAl_{0.2}Ga_{0.8}As-pGaAs-Ag$ -структура благодаря изменению спектрального диапазона чувствительности и величины фототока при смене полярности рабочего напряжения при его использовании совместно с источником излучения позволяет выполнять функции переключателя, рис.1. Для этого в качестве излучателя используется, например, два светодиода с длиной волны излучения в ближнем и дальнем инфракрасном диапазоне [3]. Рабочая точка фотодиода при попеременном возбуждении длинноволновым и коротковолновым излучением переходит из одной области в другую и таким образом, будет осуществляться переключение объекта подключенного к переходу из одного режима на другой (рис.1). Кроме того, в режиме прямого смещения гетероперехода наблюдаемый эффект лавинного умножения на переходе металл-гетерослой ( $Al_{0.2}Ga_{0.8}As$ ) показывает возможность его использования в качестве стабилизатора напряжения. На рис.2. приведена схема стабилизированного питания микросхемы с излучателем.



It is known that heterostructures are widely used in optoelectronic, communication, and wireless types of information and technical systems.



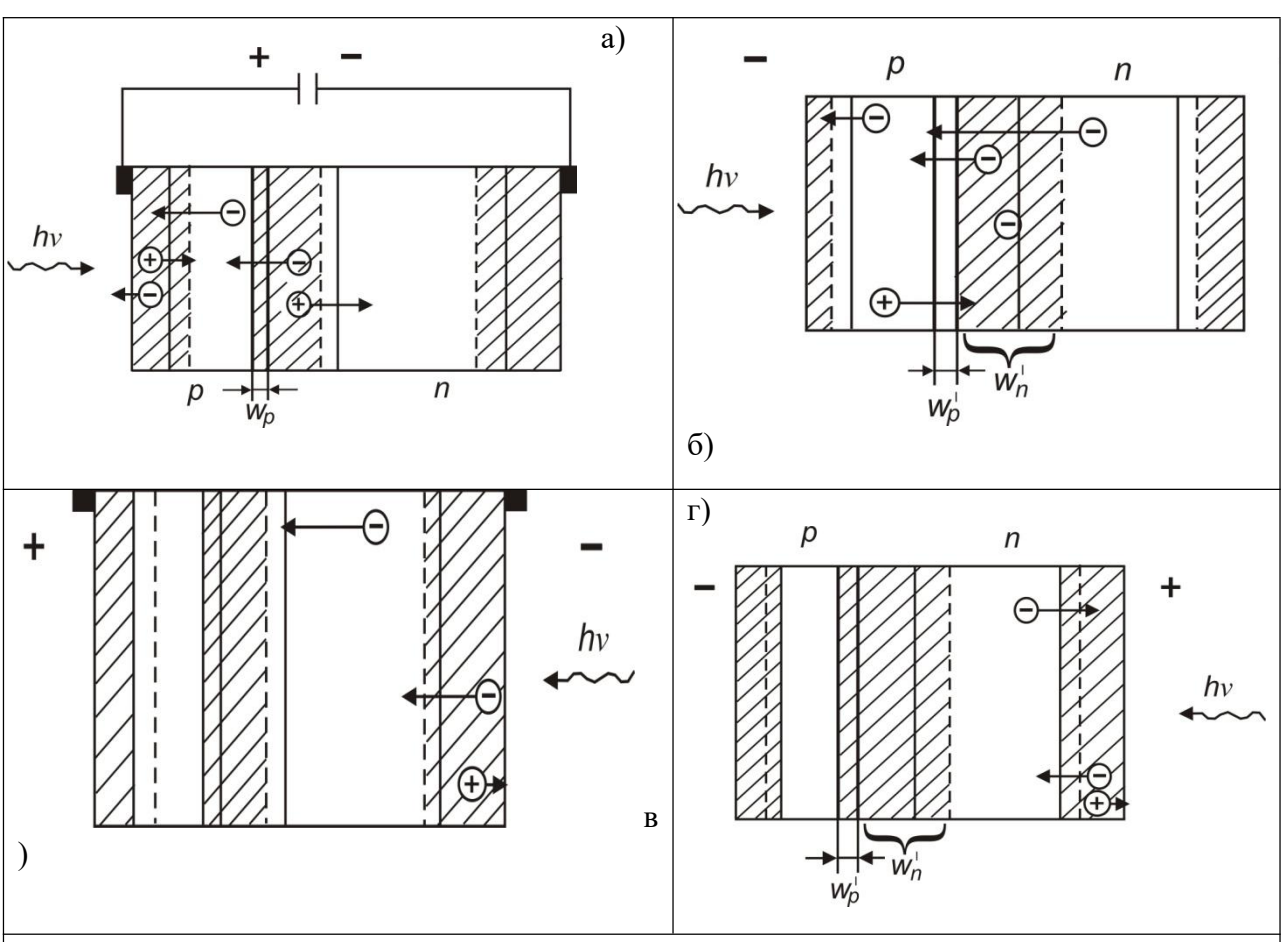


Рис.3. Принципы разделения фотогенерированных носителей в зависимости от режима включения и освещаемой поверхности трехбарьерной Au-pAlGaInAs-nGaAs:O-Agструктуры:

- а) в режиме прямого смещения при подсветке со стороны гетерослоя;
- б) в режиме запирания при подсветке со стороны гетерослоя;
- в) в режиме прямого смещения при подсветке со стороны барьера металл-nGaAs;
- г) в режиме запирания при подсветке со стороны барьера металл-nGaAs.

Если подробно рассмотреть фотогенерационные процессы в гетеро-трехбарьерных структурах, то из рис.3(а,б) видно, что возбуждение фотодиодной структуры со стороны гетерослоя (pAlGaInAs) приводит к генерации электронно-дырочных пар в зависимости от режима включения. В режиме прямого смещения гетероперехода генерация носителей осуществляется с областей объемного заряда барьера металл-полупроводник и гетероперехода, а также электронов с гетеробазовой области. В режиме запирания гетероперехода имеем генерацию носителей как с гетерослоя, так и запираемого гетероперехода возбуждением электронов с примесных уровней.

При смене освещаемой поверхности (рис.3.в,г), т.е. при освещении со стороны с более толстого (350 мкм, nGaAs:O) запираемого барьера металл-полупроводник осуществляется



eISSN 2394-6334

Impact factor: 7,854

Volume 12, issue 10 (2025)

генерация электронов и дырок, а с квазинейтральной области (nGaAs) имеем генерацию электронов с примесного уровня кислорода. В режиме запирания гетероперехода электронно-дырочные пары разделяются из обедненного слоя под металлом и возбуждаются электроны из примесных уровней. Так как гетеропереход расположен глубоко на расстоянии 350 мкм, то он не принимает участия в фотогенерационных процессах. Следует также отметить, что в данном гетеропереходе квазинейтральная область гетерослоя модулируется поочередно со стороны металла и гетероперехода при смене полярности рабочего напряжения.

Для оценки, падающих на каждом переходе напряжений, обратимся к вольтамперной характеристики специально изготовленной трехбарьерной Au-pAlGaInAs-nGaAs-Ag-структуры. Экспериментальные результаты показали, что во всем диапазоне напряжений их прямые и обратные ветви совпадают (рис.4).

Как показано на эквивалентной схеме (рис.5.а,б), сопротивления первого и третьего переходов, представляющих собой последовательно соединенные барьеры Шоттки, можно принять как одно  $R_1^1=R_1+R_3$  и p-n-перехода как  $R_2$ . При этом токи, протекающие через каждый переход являются равными  $I^{m_1-p}=I^{p-n}=I^{n-m_2}$ .

Так как при смене полярности внешнего напряжения кривые вольтамперной характеристики ложатся друг на друга (рис.4, кривые 1,2), то сопротивления  $R_1^1$  и  $R_2$ равны между собой, т.е. трехбарьерная структура является симметричной  $R_1^1 = R_2$ . На основе данных вольтамперной характеристики, в соответствии с методикой, изложенной в работе [4], определим напряжения, падающие на каждом переходе. Напряжение, падающее на  $R_1^1$ , обозначим через  $V_1^1$ , а на  $R_2^{}$  - через  $V_2^{}$ . Сумма этих напряжений будет представлять собой прилагаемое общее напряжение:  $V_{oбщ}^{m_1-p_{-n-m_2}} = V_1^1 + V_2^{p_{-n}}$ . В свою очередь:  $V_1^1 = V_1^{m_1-p} + V_3^{n-m_2}$  , где  $V_1^{m_1-p}$  и  $V_3^{n-m_2}$  напряжения, падающие на  $m_1$ -p и nтоков, протекающих через все переходы:  $R_1^1 \quad V_2^{p-n} = V_1^1 \quad R_2^{p-n}, \quad V_2^{p-n} = \frac{R_2^{p-n} \quad V_1^1}{R_1^n}, \quad V_2^{p-n} = R_2^{p-n} \quad I_{oбiu}^{m_1-p-n-m_2}$ . Для трехбарьерной  $\mathbf{m}_1$ -p-n- $\mathbf{m}_2$ системы, принимая  $R_2^{p-n}=R_1^1=R_1^{m_1-p}+R_3^{n-m_2}$  как в симметричной структуре, определим сопротивление отдельного (  $R_2^{}$  или  $R_1^1^{}$  ) перехода в точке перегиба вольтамперной характеристики:  $R_2=\frac{R_0}{2}=\frac{V_0}{2I_0}$ , где  $V_0$  ,  $I_0$  -напряжение и ток в точке перегиба. Для последовательно-соединенных трех переходов результирующее сопротивление будет равно:  $R_0 = \frac{V_0}{I_0}$ . Поскольку:  $V_2^{p-n} = \frac{V_0}{2I_0} I_{oбщ}^{m_1-p-n-m_2}$  (1.1) и  $V_1^1 = V_{oбщ}^{m_1-p-n-m_2} - V_2^{p-n}$  (1.2). На основе формул (1.1) и (1.2), для случая запираемых переходов металл-полупроводник можно вычислить напряжения, падающие на  $R_2^{p-n}$  и  $R_1^1$  переходах. При смене полярности прилагаемого напряжения, данные для  $R_2^{p-n}$  будут заменены данными  $R_1^1$ перехода. В случае, когда концентрации носителей в p- и n-областях равны (  $N_p = N_n$  ), в том числе высоты потенциальных барьеров металло-полупроводниковых переходов тоже равны  $\varphi_1=\varphi_2$  будем иметь:  $V_1^{m_1-p}=V_3^{n-m_2}$  и  $V_1^1=2V_1^{m_1-p}$ . В результате из зависимости (1.1)



для напряжения, падающего на металлополу-проводниковом  $m_1$ -p-переходе:  $V_1^{m_1-p} = \frac{V_0}{2I} \cdot \frac{I_{oбщ}^{m_1-p-n-m_2}}{2} = \frac{V_0}{4I} \cdot I_{oбщ}^{m_1-p-n-m_2}.$ 

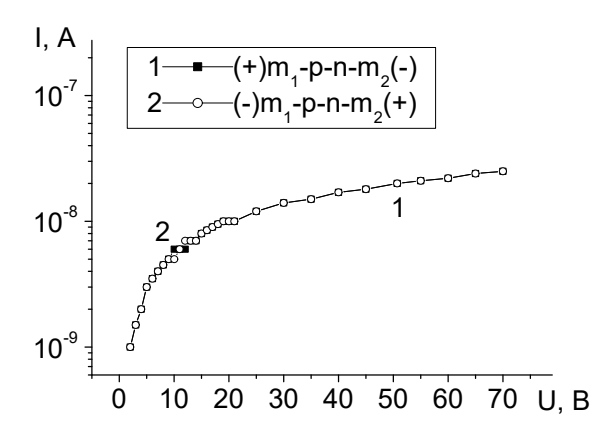


Рис.4. Зависимость вольтамперной характеристики при различных режимах включения  $Au-pAl_{0.05}Ga_{0.9}In_{0.05}As-nGaAs-Ag-структуры$ .

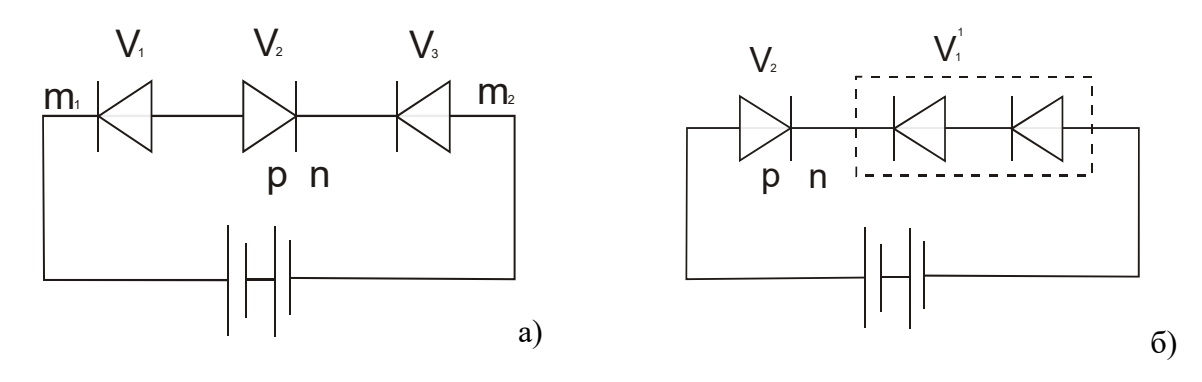


Рис.5. а). Эквивалентная схема трехбарьерной структуры; б) Упрощенная эквивалентная схема трехбарьерной структуры, приведенной к двухбарьерной.

Находим выражения для соответствующих напряжений: 
$$V_1^1 = \frac{V_0}{4I_0} \ I_{oбщ}^{m_1-p-n-m_2} = V_1^{m_1-p} + V_3^{n-m_2} \ \text{и} \ V_3^{n-m_2} = V_1^1 - V_1^{m_1-p} \ .$$

Таким образом, на основе вольтамперных характеристик трехбарьерной структуры можно определить перераспределение потенциала между переходами, толщины слоев объемного заряда и напряженности электрических полей, емкости каждого из переходов, которые позволяют уточнить механизмы токопереноса и особенности фоточувствительности. Так с напряженностью и диэлектрической проницаемостью прямо пропорционально связана емкость перехода. При последовательном соединении переходов общая емкость



#### уменьшается.

Итак, можно сделать вывод, что трехбарьерные фотодиодные структуры на основе арсенида галлия можно использовать для широкого применения в оптоэлектронных схемах и волоконно-оптических линиях связи.

#### Литература

- 1. Fundamentals of optical liber communications. Edited by M.K.Bamosci. Academic Press, inc. New York, 1976. p.230.
- 2. Каримов А.В., Ёдгорова Д.М. Физические явления в арсенидгаллиевых структурах с микрослойным квазипериодическим переходом. Изд.Фан, Ташкент, 2005. С.115-117. 3.Арипов Х.К., Каримов А.В., Ёдгорова Д.М., Зоирова Л.Х., Абдулхаев О.А. Opticelectrical switches on the basis of modernized multifunctional photodiode structures. // 2-Интернациональная конференция по оптической и беспроводной связи 11-16 сентября 2006. -Ташкент, 2006. -С.56.
- 4. Зоирова Л.Х. Влияние электрического поля на спектральную чувствительность трехбарьерной структуры. // УФЖ, 2008. -V10. -№4-5. С.323-328.
- 5. Х.Кейси, М.Паниш. Лазеры на гетероструктурах. Изд.Мир, Москва, 1981. В 2-х томах. Том 1, -C.226.
- 6. Каримов А.В., Ёдгорова Д.М., Саидова Р.А., Зоирова Л.Х. Механизмы токопрохождения в гетеро  $m_1$ -pAlGaInAs-nGaAs- $m_2$ -структуре. // Интернациональная конференция: Неравновесные процессы в полупроводниках и в полупроводниковых структурах 2007. -Ташкент, 2007. -С.179-181.
- 7. Ёдгорова Д.М. Ашрапов Ф.М. Фотоэлектрические характеристики микрослойных фотодиодных pAlGaInAs(Zn)-nGaAs-Au-структур. ИФЖ, 2008. -Т.80. -№1. -C.166-172.

